

# IFN - $\lambda$ R1 与 TRAF6 的相互作用及对 NF - $\kappa$ B 与 ISRE 活性的影响

杨 霞 张俊文 黄秉仁 陈 虹

**摘要 目的** 构建含有信号肽的全长 IFN -  $\lambda$ R1 质粒, 研究在配体 IFN -  $\lambda$ 1 存在的情况下 IFN -  $\lambda$ R1 与 TRAF6 的相互作用及对 NF -  $\kappa$ B 与 ISRE 活性的影响。**方法** 利用多次 PCR 将信号肽编码序列引入 IFN -  $\lambda$ R1 序列中, 构建表达载体, 用免疫荧光及膜蛋白分离实验鉴定 IFN -  $\lambda$ R1 的表达定位。用免疫共沉淀的方法研究 IFN -  $\lambda$ 1 刺激下 IFN -  $\lambda$ R1 与 TRAF6 间的相互作用。用双荧光素酶报告基因实验研究 IFN -  $\lambda$ R1 与 TRAF6 相互作用后对下游 NF -  $\kappa$ B 与 ISRE 活性的影响, 采用实时定量 PCR 的方法检测此种作用对 OAS1 与 Mx1 基因表达的影响。**结果** 成功构建了含信号肽的全长 IFN -  $\lambda$ R1 表达载体, 细胞内表达的 IFN -  $\lambda$ R1 可正确定位于细胞膜上。细胞共转染 IFN -  $\lambda$ R1 和 TRAF6, 在免疫沉淀物中可以检测到两个蛋白同时存在。细胞内共表达的 IFN -  $\lambda$ R1 能够抑制 TRAF6 诱导的 NF -  $\kappa$ B 的激活, 而共表达的 TRAF6 可以抑制 IFN -  $\lambda$ R1 下游 ISRE 的活性, 并下调 OAS1 与 Mx1 基因的表达。**结论** 证实了在 IFN -  $\lambda$ 1 存在下 IFN -  $\lambda$ R1 与 TRAF6 的相互作用及二者相互作用对各自细胞信号转导通路的影响, 为 TRAF6 作为 IFN -  $\lambda$  受体信号通路中的相互作用蛋白提供了新的实验依据。

**关键词** IFN -  $\lambda$ R1; TRAF6; NF -  $\kappa$ B; ISRE; 相互作用

[中图分类号] R3 [文献标识码] A

**Interaction between IFN -  $\lambda$ R1 and TRAF6 Down - regulates the NF -  $\kappa$ B and ISRE Signal Pathway.** Yang Xia, Zhang Junwen, Huang Bingren, Chen Hong. National Laboratory of Medical Molecular Biology, Institute of Basic Medical Sciences, CAMS and PUMC, Beijing 100005, China

**Abstract Objective** To construct an expression vector for the full length IFN -  $\lambda$ R1 containing a signal peptide in order to investigate the interaction between IFN -  $\lambda$ R1 and TRAF6 under the stimulation of IFN -  $\lambda$ 1, and to observe how the interaction between IFN -  $\lambda$ R1 and TRAF6 influence the activities of NF -  $\kappa$ B and ISRE. **Methods** DNA cloning technique was employed to construct expression vector for the full length IFN -  $\lambda$ R1 containing a signal peptide. Immunofluorescence assay and membrane protein separation were used to confirm the expression of IFN -  $\lambda$ R1. Co - transfection and immunoprecipitation were used to study the interaction between IFN -  $\lambda$ R1 and TRAF6 spurred by IFN -  $\lambda$ 1. Dual Luciferase Reporter Gene Assay was also used to research the NF -  $\kappa$ B and ISRE activities. OAS1 and Mx1 mRNA levels were detected by quantitative real time PCR. **Results** The full - length expression vector of IFN -  $\lambda$ R1 with signal peptide was successfully constructed which can be expressed on the cell membrane correctly. The interaction between IFN -  $\lambda$ R1 and TRAF6 at presence of IFN -  $\lambda$ 1 was confirmed by co - transfection and immunoprecipitation. IFN -  $\lambda$ R1 can repress the activity of NF -  $\kappa$ B induced by TRAF6 overexpression in HEK293T and Hela cells. Whereas, TRAF6 can inhibit IFN -  $\lambda$ R1 downstream signal activity of IFN -  $\lambda$ 1 stimulation and down - regulate the expression of OAS1 and Mx1. **Conclusion** These results provide the further evidences for the IFN -  $\lambda$ R1 interacting with TRAF6, and how this interaction effects on these two signal transduction pathways. They also provide a new experimental proof of TRAF6 as a binding protein in the signal pathway of IFN -  $\lambda$ R1.

**Key words** IFN -  $\lambda$ R1; TRAF6; NF -  $\kappa$ B; ISRE; Interaction

干扰素 -  $\lambda$  (interferon -  $\lambda$ , IFN -  $\lambda$ ) 是 2003 年由 Sheppard 等<sup>[1]</sup> 和 Kotenko 等<sup>[2]</sup> 共同发现, 属于Ⅲ型干扰素, 包括: IFN -  $\lambda$ 1、IFN -  $\lambda$ 2 和 IFN -  $\lambda$ 3, 又称白细

胞介素 (interleukin, IL) - 29、IL - 28A 和 IL - 28B。IFN -  $\lambda$  的受体由特有的配基结合亚基 IFN -  $\lambda$ R1 (又称 IL28RA) 和辅助亚基 IL - 10R2 组成。与 I 型干扰素相似, IFN -  $\lambda$  与其受体结合, 通过激活 JAK 酪氨酸激酶 - 信号转导和转录激活子 (janus family tyrosine kinase - signal transducers and activators of transcription, JAK - STAT) 信号通路, 发挥抗病毒、抗肿瘤细胞增殖和免疫调节的生物学功能<sup>[3]</sup>。此外, 是否还有

作者单位: 100005 中国医学科学院基础医学研究所/北京协和医学院基础学院生物化学与分子生物学系、医学分子生物学国家重点实验室

通讯作者: 陈虹, 电子信箱: hchen@public.bta.net.cn

其他蛋白参与 IFN -  $\lambda$  与其特异受体 IFN -  $\lambda$ R1 的相互作用及信号转导，并进而影响 IFN -  $\lambda$ 1 的生物学活性值得探讨。在前期研究中，本课题组采用生物信息学方法发现 IFN -  $\lambda$ R1 的膜内区有结合肿瘤坏死因子受体相关因子 6 (tumor necrosis factor receptor associated factors, TRAF6) 的结构域，用分子生物学方法对 IFN -  $\lambda$ R1 膜内区与 TRAF6 的相互作用进行了验证，并初步观察了两者相互作用的生物学活性<sup>[4]</sup>。为了进一步研究细胞在 IFN -  $\lambda$ 1 的刺激下，IFN -  $\lambda$ R1 与 TRAF6 相互作用的生物学活性，本研究在前期工作的基础上构建了含有信号肽的全长 IFN -  $\lambda$ R1 的表达载体，用共转染免疫沉淀和荧光素酶报告基因等方法获得了一些结果，为认识 TRAF6 作为 IFN -  $\lambda$ R1 的新的相互作用蛋白在 IFN -  $\lambda$  的信号转导通路中的作用提供了新的依据。

## 材料与方法

1 材料：人宫颈癌细胞株 HeLa、人胚肾细胞株 HEK293T、DH5 $\alpha$  感受态细菌由本室保存。表达质粒 pCMV - Myc、pEGFP - N1、pFlag - CMV2、报告基因质粒 pGL - NF -  $\kappa$ B - luc、pISRE - TA - luciferase、pRL - SV40 由本室保存，pFlag - TRAF6 由本室构建，pEF - BOSpuro - IL28RA 由 Dr. Jean

Christophe Renaud 馈赠。VigoFect 转染试剂购自维格拉斯生物技术有限公司(北京)，Lipofectamine<sup>TM</sup> 2000 购自 Invitrogen 公司。蛋白酶抑制剂混合片购自 Roche 公司。热启动高保真 DNA 聚合酶、限制性内切酶 Bgl II 与 Kpn I 购自宝生物工程(大连)有限公司。SYBR Premix Ex Taq<sup>TM</sup> II 试剂购自 TaKaRa 公司。RNA 反转录试剂盒购自 Promega 公司。Protein A/G 购自 GE 公司。Digitonin 试剂、Flag、 $\beta$ -actin 抗体购自 Sigma 公司，EGFR、Myc 抗体购自 Santa Cruz 公司。HRP/FITC 标记的二抗购自中杉金桥生物公司。引物均由上海生工合成。

2. IFN -  $\lambda$ R1 全长表达质粒的构建：从美国国立生物技术信息中心(National Center of Biotechnology Information)上获取 IFN -  $\lambda$ R1 的全长 cDNA 序列，设计引物，引物序列见表 1。以 pEF - BOSpuro - IL28RA 为模板，经过 3 轮 PCR 扩增将信号肽编码序列引入 IFN -  $\lambda$ R1 cDNA 序列的 5' 端。具体步骤如下：以 FP1 和 RP1 进行第 1 轮扩增，FP2 和 RP1 进行第 2 轮扩增，FP3 和 RP1、FP4 和 RP2 分别作为第 3 轮的扩增引物，每轮扩增的产物为下一轮 PCR 的模板；反应条件均为 98°C 预变性 10s, 98°C 变性 10s, 68°C 延伸 90s，共 35 个循环，68°C 最后延伸 5min。然后将两个第 3 轮 PCR 产物片段进行内切酶 Bgl II 与 Kpn I 消化，分别克隆至 pCMV - Myc 和 pEGFP - N1 载体的 Bgl II 与 Kpn I 位点上，转化 DH5 $\alpha$  感受态细菌，对重组质粒 DNA 进行双酶切鉴定及 DNA 测序。构建正确的质粒分别命名为 pMyc - IFN -  $\lambda$ R1 和 pEGFP - IFN -  $\lambda$ R1。

表 1 引物序列表

引物名称	引物序列(5'→3', 下划线标记为酶切位点)	重组载体名称
FP1	CCTGCTCCTGTGCCTGCTGCAGGCCG/CTCCAGGGAGGCC	
FP2	TATGGCGGGGCCGAGCGCTGGGCC/CCTGCTCCTGTGCCTGC	pMyc - IFN - $\lambda$ R1
FP3	GA <u>AGATCTC</u> /TATGGCGGGGCCGAG	
RP1	GC CGTACCTCACCTGGCCATGTAATGC	
FP4	GA <u>AGATCTCGCCACC</u> /ATGGCGGGGCCGAG	pEGFP - IFN - $\lambda$ R1
RP2	GC GGTACCGTCCCTGGCCATGTAATGC	

下划线为酶切位点 Bgl II 或 Kpn I，斜线隔开前面顺序为每次 PCR 后在 5' 端增加的核苷酸序列

3. 细胞免疫荧光实验：HeLa 细胞在含 10% 胎牛血清(FBS)的高糖 DMEM 培养基中于 37°C 和 5% CO<sub>2</sub> 的孵育箱中培养。转染前 24h 用胰酶将 HeLa 细胞消化成单细胞并接种于 6 孔板的盖玻片上，待其生长至接合度为 80% ~ 90% 时，用 Lipofectamine<sup>TM</sup> 2000 转染试剂按说明书进行转染操作。转染 pEGFP - IFN -  $\lambda$ R1 质粒的细胞 24h 后经 4% 多聚甲醛固定后直接用 DAPI 复染细胞核后封片。转染 pMyc - IFN -  $\lambda$ R1 质粒的细胞经 4% 多聚甲醛固定后用 1: 200 稀释的 Myc 抗体 37°C 孵育 1h，PBS 洗，加入 1: 200 稀释的 FITC 标记的第 2 抗体 37°C 孵育 1h，PBS 洗，DAPI 复染细胞核后封片，荧光显微镜观察 IFN -  $\lambda$ R1 在细胞中的表达定位。

4. 细胞膜、胞质蛋白分离<sup>[5]</sup>：转染前 24h 将 HEK293T 接种于 6 孔板中，按 VigoFect 转染试剂按说明书转染 pMyc - IFN -  $\lambda$ R1 质粒。24h 后消化离心收集细胞，加入含毛地黄皂

苷(digitonin)的细胞裂解液(0.005% digitonin, 90mmol/L KAc, 25mmol/L Hepes, pH 7.4, 25mmol/L MgCl<sub>2</sub>, 1mmol/L EGTA, 0.2mmol/L CaCl<sub>2</sub>, 12mmol/L 谷氨酸和蛋白酶抑制剂混合片溶液)，冰上放置 15min, 12000 × g 低温离心 10min，上清即为可溶性胞质蛋白；向沉淀加入高盐溶液(300mmol/L NaCl)和 1% NP - 40，冰上放置 15min, 12000 × g 低温离心 15min，上清即为不可溶性膜蛋白。分离的膜蛋白和胞质蛋白用抗 Myc 抗体进行 Western blot 法检测。

5. 免疫共沉淀及 Western blot 法：HEK293T 细胞共转染 pMyc - IFN -  $\lambda$ R1 与 pFlag - TRAF6 质粒，24h 后更换为 3% FBS 的高糖 DMEM 培养基，饥饿培养 2 ~ 4h，给以 IFN -  $\lambda$ 1 (200ng/ml) 刺激，分别于 0、3、5、15min 和 0、6、12、24h 收集细胞。加入细胞裂解液(50mmol/L Tris - HCl, pH 7.4, 150mmol/L NaCl, 1% NP - 40, 1mmol/L EDTA, 0.25% 去氧胆酸钠，蛋

白酶抑制剂混合液溶液),冰上裂解 15 min,离心收集上清,BCA 法测定总蛋白浓度,按总蛋白量一致的原则,每份样品留出 10% 作为内参(input),其余加入 1 μg Flag 抗体 4℃ 孵育过夜,然后加入 40 μl 50% 的 protein A/G,4℃ 孵育 2 h,低速离心去上清,加入 1 ml 细胞裂解液低温洗去未结合蛋白,加入 2 × SDS 蛋白电泳加样缓冲液,SDS-PAGE 蛋白电泳分离,印迹到硝酸纤维素膜上,5% 脱脂奶粉封闭,用 Myc、Flag、β-actin 抗体 4℃ 孵育过夜,HRP 标记的第 2 抗体于室温孵育 1.5 h,洗膜后,加入 ECL 化学发光液用 X 线片显影。

6. 双荧光素酶报告基因检测:取对数生长期的细胞接种于 24 孔板中,待细胞结合度为 80%~90% 时进行转染,分为 3 组:a. pMyc - IFN - λR1 + pFlag - CMV2;b. pCMV - Myc + pFlag - TRAF6;c. pMyc - IFN - λR1 + pFlag - TRAF6,均与报告基因质粒共转染,每组 4 孔,24 h 后更换为 3% FBS 的高糖 DMEM 培养基,以 200 ng/ml 的 IFN - λ1 给予 0 h 和 20 h 的刺激,然后弃去培养基,PBS 洗,按 Promega 公司双荧光素酶报告基因检测试剂盒说明书操作,用 TD - 20 仪器分别读取 F 值(萤火虫荧光素酶活性)和 R 值(海肾荧光素酶活性),计算比值  $T = F/R$ 。

7. 实时定量 PCR 分析:将 HEK293T 细胞接种于 6 孔板中进行转染,除上述分组外增加空载体 pCMV - Myc + pFlag - CMV2 组,24 h 后更换为 3% FBS 的高糖 DMEM 培养基,以 200 ng/ml 的 IFN - λ1 给予 0 h 和 20 h 刺激,收集细胞,Trizol 法提取总 RNA。参照 Promega 公司反转录试剂盒说明书将总 RNA 反转录为 cDNA。参照 TaKaRa 公司的 SYBR Premix Ex Taq™ II 试剂盒说明书,以 GAPDH 为内参检测 OAS1、Mx1 基因的表达。引物如下:OAS1:5' - AGATCAATGAGCCCTG-CATAAAC - 3' 和 5' - ATTGACAGTGCTGTTAACATC - 3', Mx1:5' - GTGGAACCTCGTGTGGAGTCTGGTA - 3' 和 5' - AGATCCAGGACCAGCCTGAGCCTGT - 3', GAPDH:5' - TGAG-TACGTCGTGGAGTCCA - 3' 和 5' - TAGACTCCACGACATACT-CA - 3'。

8. 统计学方法:采用 SPSS 11.0 软件进行统计分析,数值用均数 ± 标准差 ( $\bar{x} \pm s$ ) 表示。两组独立样本的 t 检验,以  $P < 0.05$  为差异具有统计学意义。

## 结 果

1. 细胞内重组表达的 IFN - λR1 可以定位于细胞膜:为了研究细胞在 IFN - λ1 刺激下,IFN - λR1 与 TRAF6 是否存在相互作用,首先将 IFN - λR1 的信号肽编码序列通过多次 PCR 引入 IFN - λR1 cDNA 的 5' 端,获得带有信号肽的全长 IFN - λR1 编码序列,分别克隆至带有 Myc 标签的表达载体 pCMV - Myc 和带有绿色荧光蛋白(green fluorescent protein, GFP)的表达载体 pEGFP - N1 中,获得重组质粒 pMyc - IFN - λR1 和 pEGFP - IFN - λR1。DNA 序列分析结果显示,重组质粒中全长 IFN - λR1 的编码序列正确,IFN

- λR1 与标签蛋白的融合位点读码框架正确。细胞免疫荧光检测显示,转染含有信号肽的全长 IFN - λR1 表达质粒后,表达的 IFN - λR1 主要分布于细胞膜表面(图 1A)。将转染 pMyc - IFN - λR1 的 293T 细胞进行细胞膜蛋白和细胞质蛋白的分离,Western blot 法检测结果显示只有在不溶性的细胞膜成分中可以检测到 IFN - λR1 表达蛋白,进一步证实了重组质粒中的信号肽可以引导 IFN - λR1 正确表达定位在细胞膜上(图 1B)。

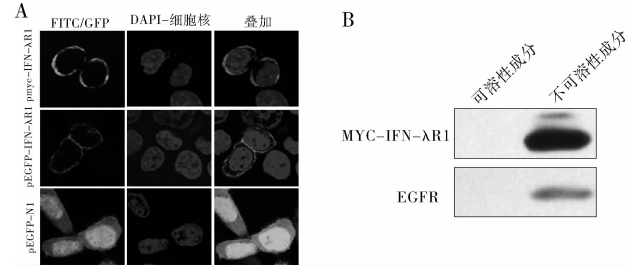


图 1 细胞内表达的 IFN - λR1 可以  
正确定位于细胞膜

A. 荧光显微镜观察 IFN - λR1 在细胞内的分布(第 1 行为 pMyc - IFN - λR1, 第 2 行为 pEGFP - IFN - λR1, 第 3 行为 pEGFP - N1)( $10 \times 60$ ); B. 细胞蛋白分离后 Western blot 法检测 Myc - IFN - λR1 蛋白的表达,表皮生长因子受体(EGFR)为膜受体蛋白的阳性对照

2. IFN - λ1 对 IFN - λR1 与 TRAF6 的相互作用的影响:IFN - λR1 与 TRAF6 共转染 293T 细胞后,用 IFN - λ1 刺激,在不同时间点收取并裂解细胞,使用 TRAF6 的标签蛋白 Flag 的抗体进行免疫沉淀,检测沉淀复合物中 IFN - λR1 的标签蛋白 Myc。结果显示,细胞内过表达的 IFN - λR1 与 TRAF6 可以相互作用,给予 IFN - λ1 刺激后,在 15 min 内,随着刺激时间的延长,IFN - λR1 与 TRAF6 的相互作用呈现逐渐减弱的趋势(图 2A)。而在持续长时间作用时,免疫沉淀复合物中仍可以检测到 IFN - λR1 与 TRAF6 的相互作用(图 2B)。

3. IFN - λR1 抑制 TRAF6 诱导 NF - κB 的激活:核转录因子 - κB(nuclear factor kappa - light - chain - enhancer of activated B cells, NF - κB)是 TRAF6 信号通路中的信号分子。双荧光素酶报告基因实验显示,HEK293T 和 HeLa 细胞单独转染 pFlag - TRAF6 质粒时,TRAF6 可以诱导 NF - κB 报告基因的活性,在 HEK293T 细胞则更为明显。单独转 pMyc - IFN - λR1 时,在两株细胞中 NF - κB 报告基因的活性都很低。细胞共转染 pMyc - IFN - λR1 与 pFlag -

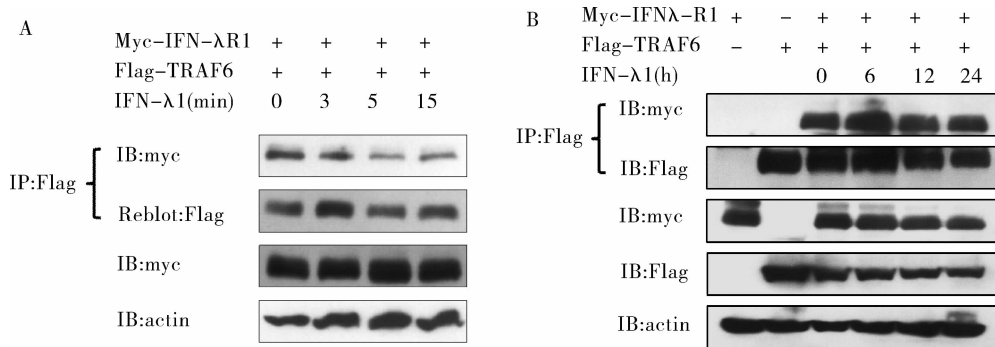


图 2 IFN-λ1 对 IFN-λR1 与 TRAF6 的相互作用的影响

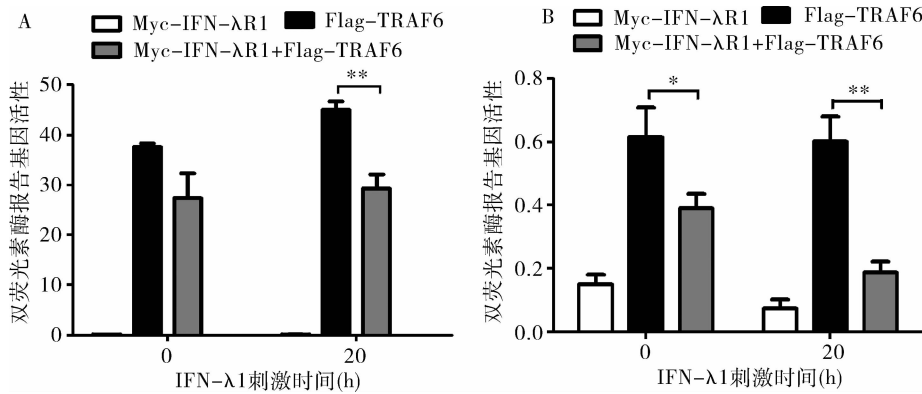


图 3 IFN-λR1 抑制 NF-κB 的激活

A. 双荧光素酶报告基因检测 293T 细胞中 NF-κB 的活性; B. 双荧光素酶报告基因检测 HeLa 细胞中 NF-κB 的活性; \*  $P < 0.05$ , \*\*  $P < 0.01$

TRAF6 质粒,与单独转染 TRAF6 相比,两株细胞中 NF-κB 报告基因的活性均有降低。进一步观察 IFN-λ1 刺激的影响,结果显示,HEK293T 细胞给予 IFN-λ1 刺激后,TRAF6 诱导的 NF-κB 报告基因的活性被共表达的 IFN-λR1 所抑制,差异具有统计学意义( $P < 0.01$ )。在 Hela 细胞中,无论是否给予 IFN-λ1 刺激,共转染 IFN-λR1 都能显著抑制 TRAF6 诱导的 NF-κB 报告基因的激活 [ $P < 0.05$  (IFN-λ1 0h),  $P < 0.01$  (IFN-λ1 20h)](图 3)。

4. TRAF6 抑制 IFN-λR1 对 ISRE 的激活:IFN-λ 与其受体结合,通过 JAK-STAT 信号通路诱导 STATs 磷酸化,形成干扰素刺激因子 3 (IFN stimulated gene factor 3, ISGF3) 复合物,ISGF3 进入细胞核与干扰素刺激应答元件 (IFN stimulated response element, ISRE) 结合启动转录,使得大量抗病毒基因表达,例如,2',5'-寡腺苷酸合成酶 (2',5'-oligoadenylate synthetase, OAS1),抗黏液病毒蛋白 (MxA 也称 Mx1) 等。为了研究 TRAF6 与 IFN-λR1 相互作用对 IFN-λ 信号通路的影响,首先检测了 ISRE 双荧光素酶

报告基因的活性。如图 4 中 A、B 所示,在 HEK293T 和 Hela 细胞中,单独转染 pMyc-IFN-λR1 后,给予 IFN-λ1 刺激,均能诱导 ISRE 报告基因的活性增加,单独转染 pFlag-TRAF6,ISRE 报告基因的活性很低,且不受 IFN-λ1 的影响。pMyc-IFN-λR1 与 pFlag-TRAF6 共转染时,两株细胞中 ISRE 报告基因的活性与单独转染 IFN-λR1 相比,均显著降低 (HEK293T 细胞,由 17.97 倍降低至 4.68 倍,  $P < 0.001$ ; Hela 细胞,由 25.43 倍降低为 1.28 倍,  $P < 0.001$ )。给予 IFN-λ1 刺激仍不能诱导 ISRE 报告基因的激活,在两株细胞中,ISRE 报告基因的活性均显著低于单独转染 IFN-λR1 组 ( $P < 0.001$ )。

进一步采用实时定量 PCR 检测了 HEK293T 细胞中 OAS1 和 Mx1 基因的表达,结果显示,各实验组及空质粒对照组中,OAS1 和 Mx1 基因表达水平都很低,给予 IFN-λ1 刺激后,单独转染 pMyc-IFN-λR1 组中 OAS1 和 Mx1 基因的表达明显增加,OAS1 增加 136.95 倍,Mx1 增加 6.31 倍。pMyc-IFN-λR1 与 pFlag-TRAF6 共转染组,过表达的 TRAF6 可

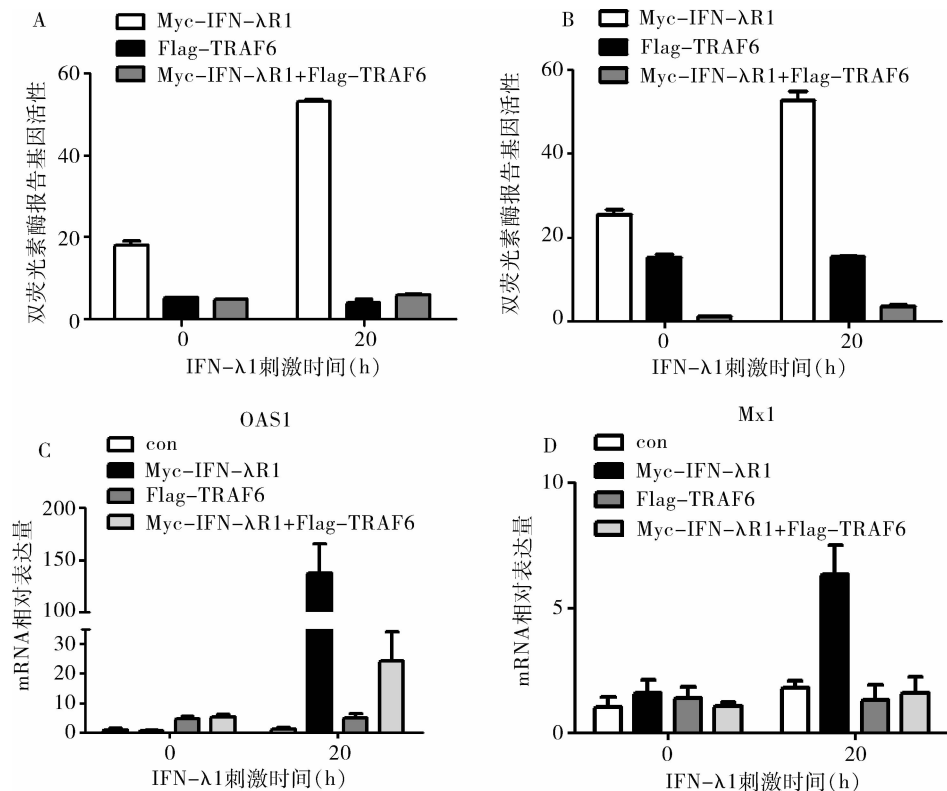


图 4 TRAF6 抑制 IFN-λR1 对 ISRE 的激活

A. 双荧光素酶报告基因检测 293T 细胞中 ISRE 的活性; B. 双荧光素酶报告基因检测 HeLa 细胞中 ISRE 的活性; C. real - time PCR 检测 293T 细胞中 OAS1 亚基的表达; D. real - time PCR 检测 293T 细胞中 Mx1 的表达

以抑制 IFN-λ1 刺激后引起的 OAS1 和 Mx1 基因表达的增加, OAS1 表达下调至 24.09 倍, Mx1 下调至 1.57 倍 ( $P < 0.001$ ) (图 4C 和 D), 表明 TRAF6 与 IFN-λR1 的相互作用可以抑制 IFN-λ1 与 IFN-λR1 结合后引起信号转导通路的活化。

## 讨 论

Ⅲ型干扰素 IFN-λ 的受体是由 IFN-λR1 与 IL-10R2 组成的异二聚体型细胞膜受体, 其中 IFN-λR1 是配基结合的特异亚基, 对 IFN-λ 受体信号转导通路其决定作用。IFN-λ 与膜受体结合后引起受体二聚化, 激活 Janus kinases, Jak1 和 Tyk2, 进而激活转录因子 STAT1 和 STAT2<sup>[6, 7]</sup>。在一些细胞中还会激活 STAT3、STAT4、STAT5。活化后的 STAT1 和 STAT2 以异源二聚体形式招募 IRF-9(也被称为 ISGF3γ or p48)形成三聚体的转录因子复合物 ISGF3。ISGF3 通过结合到 ISGs 的干扰素刺激响应元件 ISRE 来调节抗病毒基因表达, 主要包括 OAS1、Mx1 等<sup>[8]</sup>。其中, OAS1 可催化一种特殊的核糖核酸内切酶 (RNase L) 形成来降解病毒 RNA, Mx1 属于 GTP 酶类, 它通过削弱细胞内病毒的运输从而抑制病毒的复

制, 发挥抑制病毒增殖的作用。

TRAF6 是肿瘤坏死因子受体 (TNFR) 相关因子家族的成员之一, 是能够同时转导 TNFR (肿瘤坏死因子受体) 超家族和 IL-1R/TLR (interleukin-1 receptor/Toll like receptor) 超家族信号的关键媒介<sup>[9, 10]</sup>。TRAF6 作为重要的接头分子, 可以通过 NF-κB 调节 TNF-α、IL-2、IL-6、IL-8、IL-12 等促炎性因子的表达, 参与调节机体的先天性和获得性免疫、对于细胞增殖、生存与凋亡都具有重要的作用<sup>[11, 12]</sup>。

IFN-λR1 与 TRAF6 相互作用是笔者所在课题组<sup>[4]</sup>首先报道的。本研究成功构建了含信号肽的全长 IFN-λR1 表达质粒, 细胞内表达的 IFN-λR1 可以定位于细胞膜上, 为研究在 IFN-λ1 刺激下 IFN-λR1 与 TRAF6 的相互作用提供了保证。通过含标签的 IFN-λR1 与 TRAF6 蛋白间的免疫共沉淀实验进一步验证了 IFN-λR1 与 TRAF6 的相互作用, 且这种相互作用在 IFN-λ1 的刺激下可以较长时间持续。为了观察 IFN-λR1 与 TRAF6 相互作用对细胞信号转导通路的影响, 本研究采用双荧光素酶报告基因和

实时定量 PCR 实验,在两株细胞内分别针对两个蛋白重要的信号分子进行研究,结果显示,细胞共转染 IFN-λR1 与 TRAF6,IFN-λR1 可以抑制 TRAF6 诱导的 NF-κB 的激活,TRAF6 可以抑制 IFN-λ1 结合 IFN-λR1 后对 IRSE 的激活并进而抑制下游 OAS1、Mx1 基因的表达。上述结果为 TRAF6 作为 IFN-λ 受体信号通路中新的相互作用蛋白提供了新的实验依据。至于 IFN-λR1 与 TRAF6 相互作用影响 NF-κB 和 IFN 应答通路的分子机制,以及这种对细胞信号通路的影响如何介人 IFN-λ 抗病毒、抗肿瘤细胞增殖和调节免疫的生物学活性需要深入研究。

#### 参考文献

- 1 Sheppard P, Kindsvogel W, Xu W, et al. IL-28, IL-29 and their class II cytokine receptor IL-28R [J]. Nat Immunol, 2003, 4(1): 63–68
- 2 Kotenko SV, Gallagher G, Baurin VV. IFN-lambdas mediate antiviral protection through a distinct class II cytokine receptor complex [J]. Nat Immunol, 2003, 4(1): 69–77
- 3 Ank N, West H, Bartholdy C, et al. Lambda interferon (IFN-lambda), a type III IFN, is induced by viruses and IFNs and displays potent antiviral activity against select virus infections in vivo [J]. J Virol, 2006, 80(9): 4501–4509
- 4 Xie YF, Cui YB, Hui XW, et al. Interaction of IFNlambdaR1 with TRAF6 regulates NF-κB activation and IFNlambdaR1 stability [J]. J Cell Biochem, 2012, 113(11): 3371–3379
- 5 Denti S, Sirri A, Cheli A, et al. RanBPM is a phosphoprotein that associates with the plasma membrane and interacts with the integrin LFA-1 [J]. J Biol Chem, 2004, 279(13): 13027–13034
- 6 Uze G, Monneron D. IL-28 and IL-29: newcomers to the interferon family [J]. Biochimie, 2007, 89(6–7): 729–734
- 7 Novak AJ, Grote DM, Ziesmer SC, et al. A role for IFN-lambda1 in multiple myeloma B cell growth [J]. Leukemia, 2008, 22(12): 2240–2246
- 8 Donnelly RP, Kotenko SV. Interferon-lambda: a new addition to an old family [J]. J Interferon Cytokine Res, 2010, 30(8): 555–564
- 9 Zhang W, He T, Wang Q, et al. IL-1 receptor-associated kinase-2 genetic variant rs708035 increases NF-κB activity through promoting TRAF6 ubiquitination [J]. J Biol Chem, 2014
- 10 Wang X, Ha T, Zou J, et al. MicroRNA-125b protects against myocardial ischaemia/reperfusion injury via targeting p53-mediated apoptotic signalling and TRAF6 [J]. Cardiovasc Res, 2014
- 11 Konno H, Yamamoto T, Yamazaki K, et al. TRAF6 establishes innate immune responses by activating NF-κB and IRF7 upon sensing cytosolic viral RNA and DNA [J]. PLoS One, 2009, 4(5): e5674
- 12 Liu H, Tamashiro S, Baritaki S, et al. TRAF6 activation in multiple myeloma: a potential therapeutic target [J]. Clin Lymphoma Myeloma Leuk, 2012, 12(3): 155–163

(收稿日期:2014-04-11)

(修回日期:2014-04-25)

## Mus81 对人乳腺癌 SKBR3 增殖、侵袭和迁移的影响

吴云路 钱颖 吕娟 严秋月 董学君

**摘要 目的** 研究 Mus81 过表达对人乳腺癌 SKBR3 增殖、侵袭和迁移能力的影响。**方法** 从相应甘油菌中抽提 Mus81 过表达质粒和阴性对照质粒,通过 Lipofectamine® 2000 脂质体转染人乳腺癌 SKBR3 细胞。分别利用 RT-PCR 和 Western blot 法检测 Mus81 过表达效果,CCK-8 增殖实验检测过表达前后细胞增殖能力变化,Transwell 侵袭实验检测过表达前后细胞侵袭能力变化,Transwell 移动实验和细胞划痕实验检测过表达前后细胞迁移能力变化。**结果** RT-PCR 和 Western blot 法表明 Mus81 基因过表达效果良好。Mus81 过表达后,增殖实验结果显示实验组细胞增殖速度明显低于对照组( $P < 0.05$ )。Transwell 侵袭实验显示,实验组细胞每高倍视野平均穿膜个数低于对照组( $P < 0.05$ )。Transwell 移动实验显示,实验组细胞每高倍视野平均穿膜个数同对照组相比,差异无统计学意义( $P > 0.05$ )。细胞划痕实验结果显示,实验组划痕愈合率同对照组相比,差异无统计学意义( $P > 0.05$ )。**结论** Mus81 过表达抑制了人乳腺癌 SKBR3 细胞的增殖,降低了细胞的侵袭能力,但对 SKBR3 细胞迁移能力没有明显影响。

**关键词** Mus81 乳腺癌 增殖 侵袭 迁移

[中图分类号] R737

[文献标识码] A

基金项目:浙江省重点科技创新团队(2012R10048-09);浙江省医药卫生平台重点基金资助项目(2013ZDA024)

作者单位:325035 温州医科大学检验医学院、生命科学学院(吴云路、钱颖、严秋月、董学君);312000 浙江省绍兴市人民医院、浙江大学绍兴医院临床检验中心(吕娟、董学君)

通讯作者:董学君,电子信箱:dxj9666@163.com